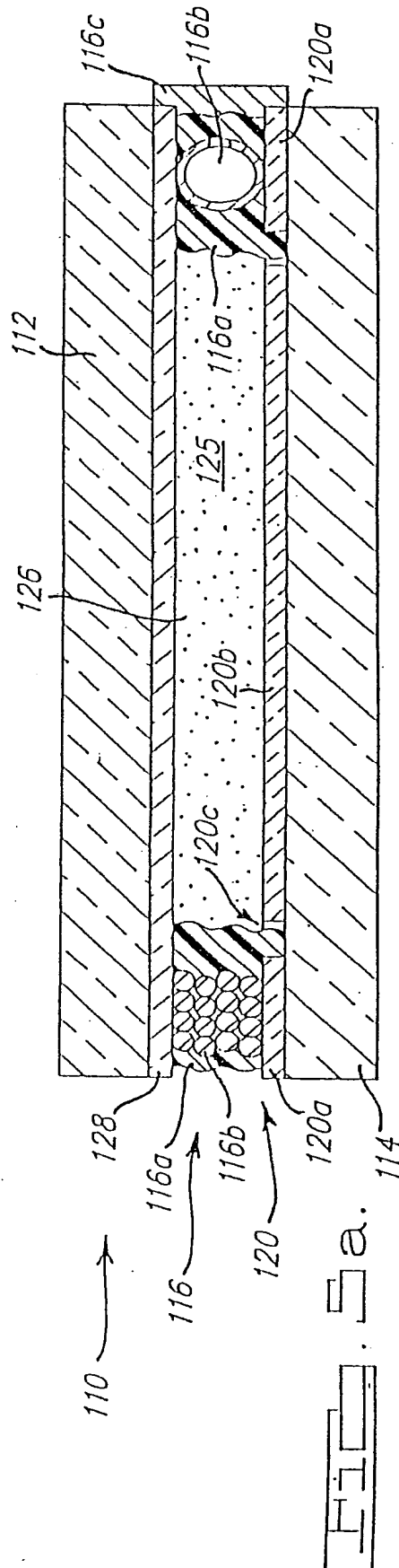
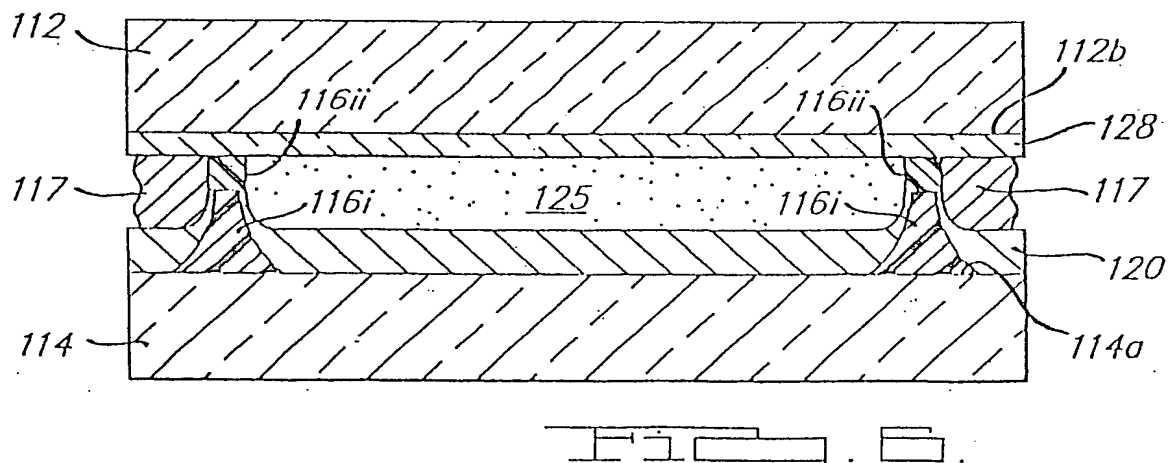
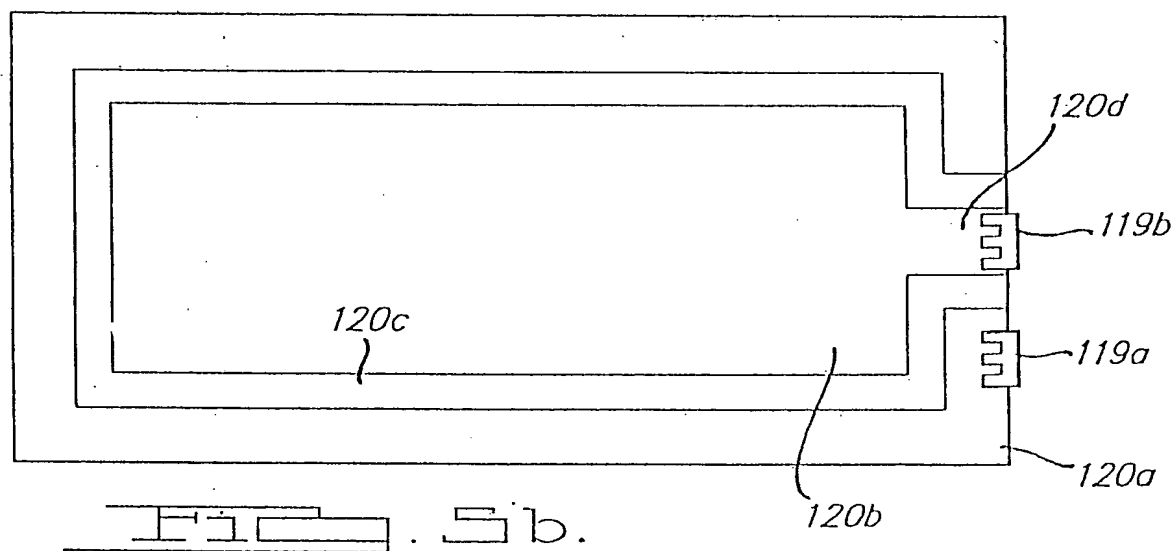
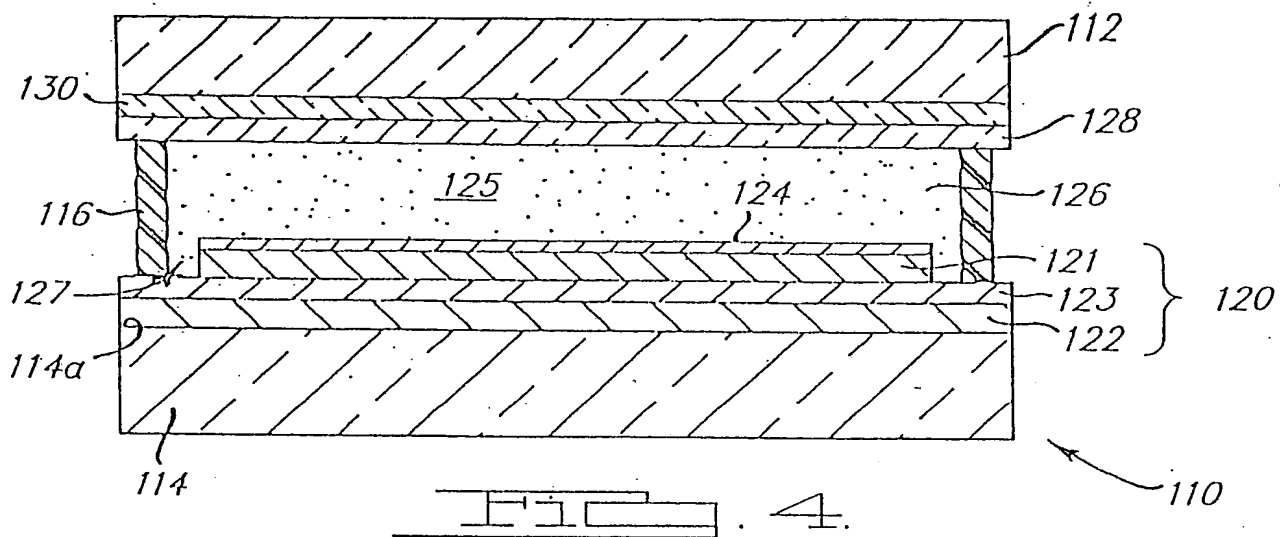


Fig. 2





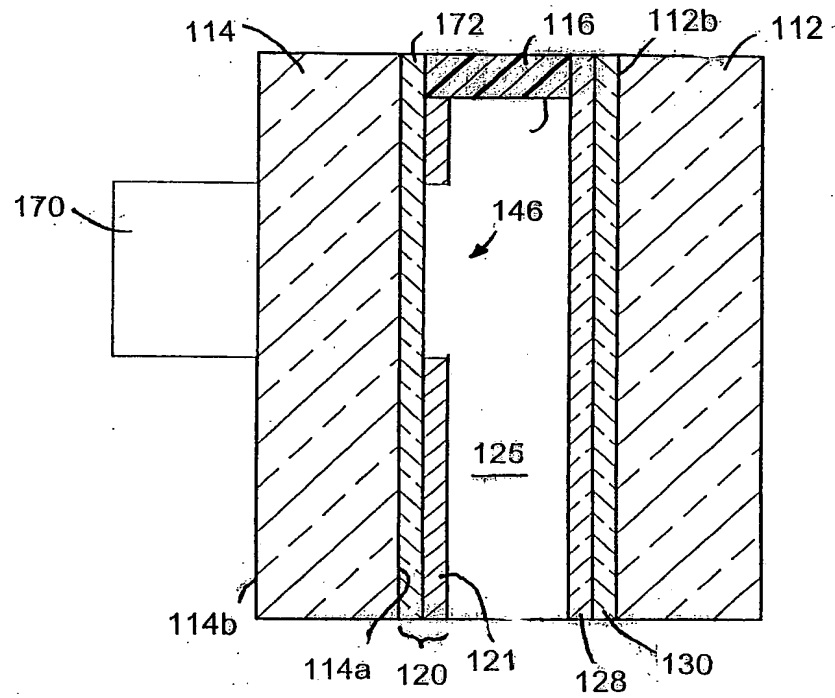


Fig. 7A

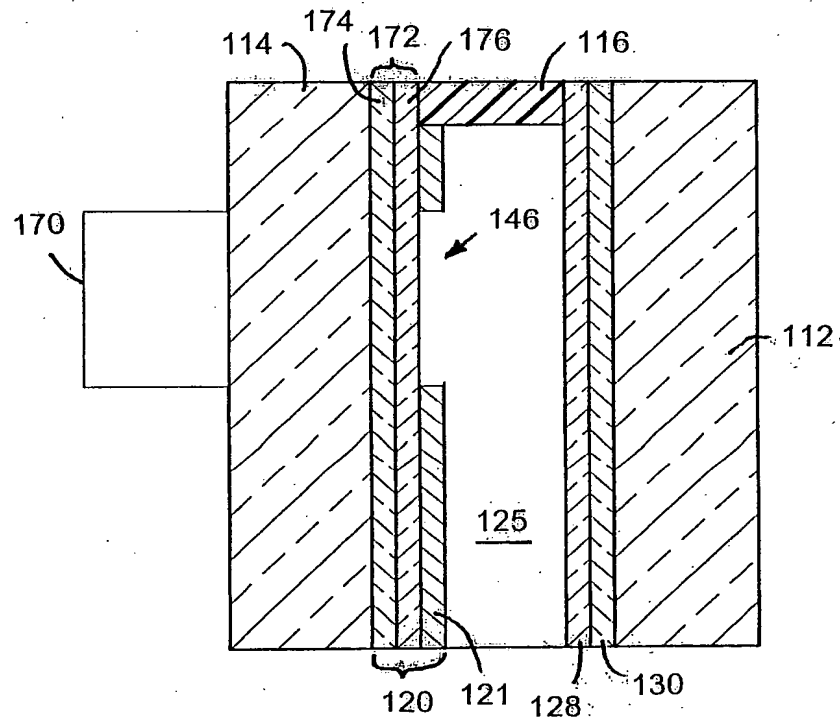


Fig. 7B

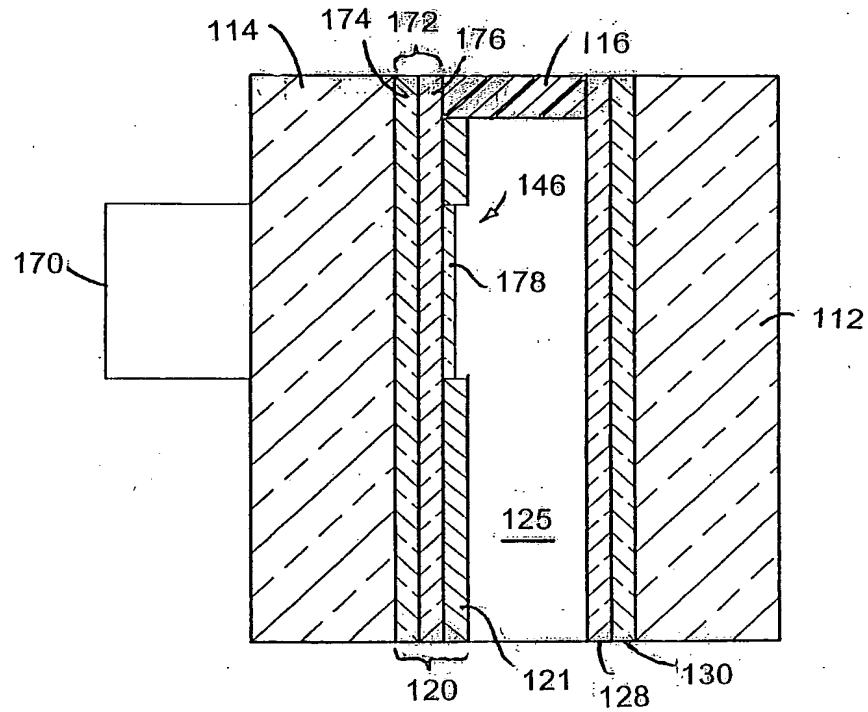


Fig. 7C

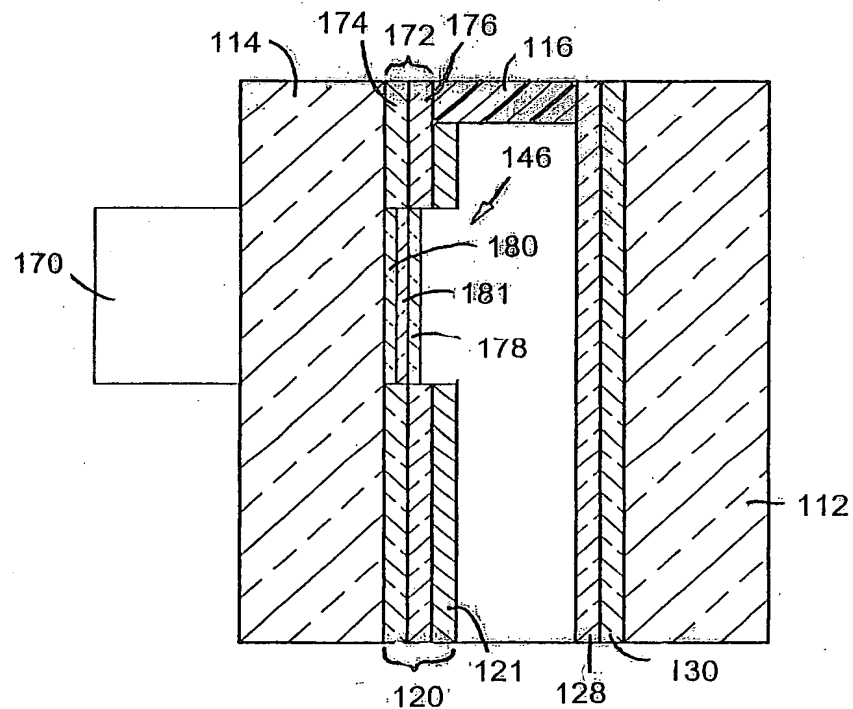


Fig. 7D

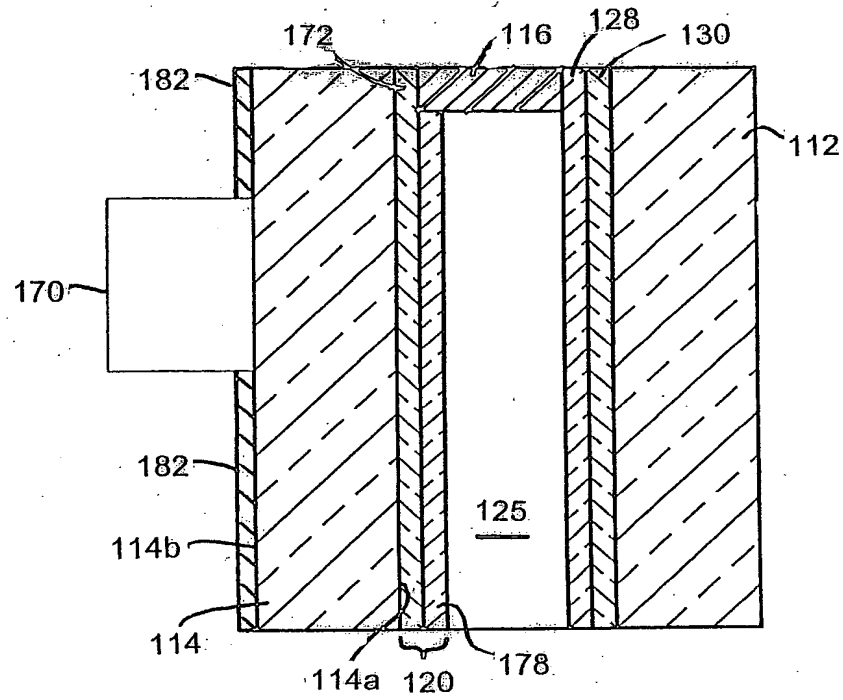


Fig. 7E

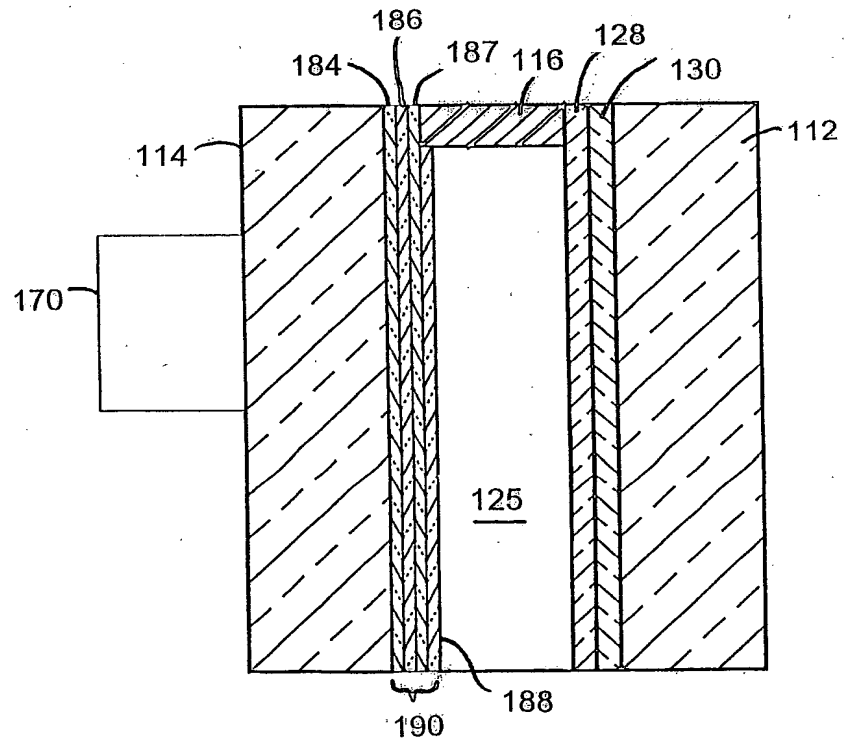


Fig. 7F

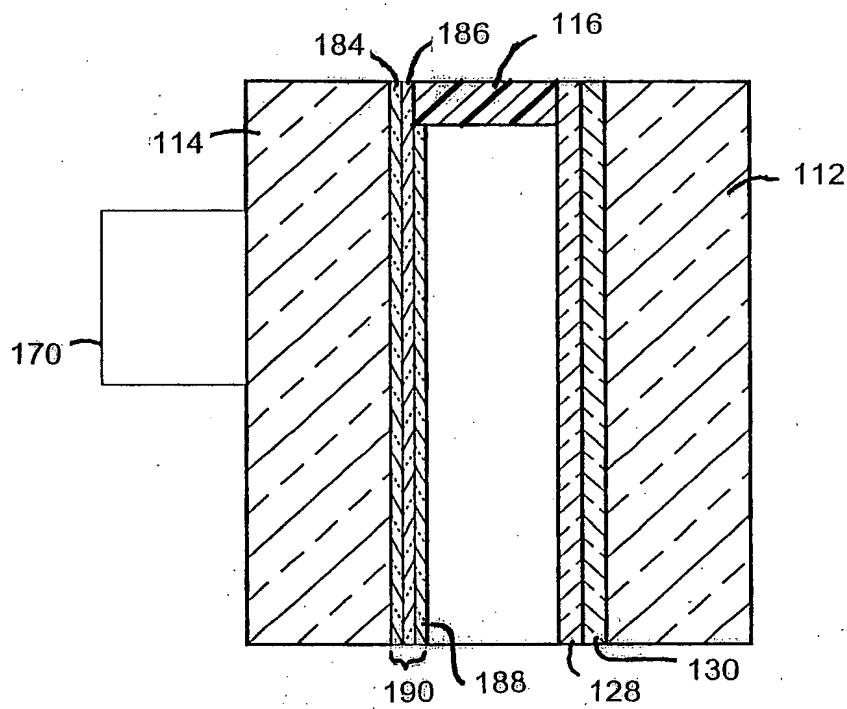


Fig. 7G



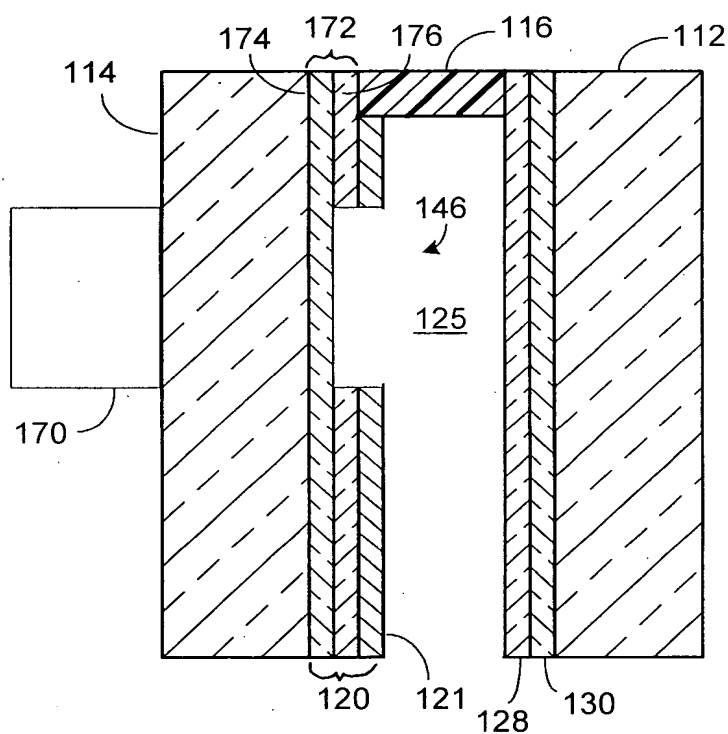
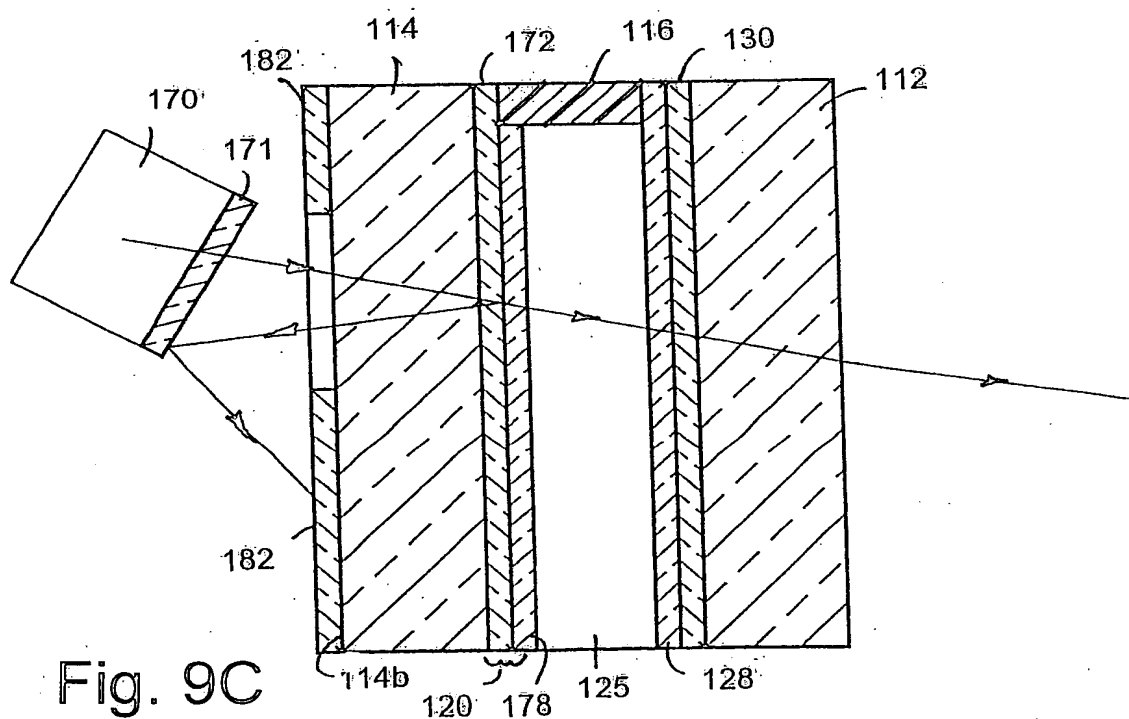
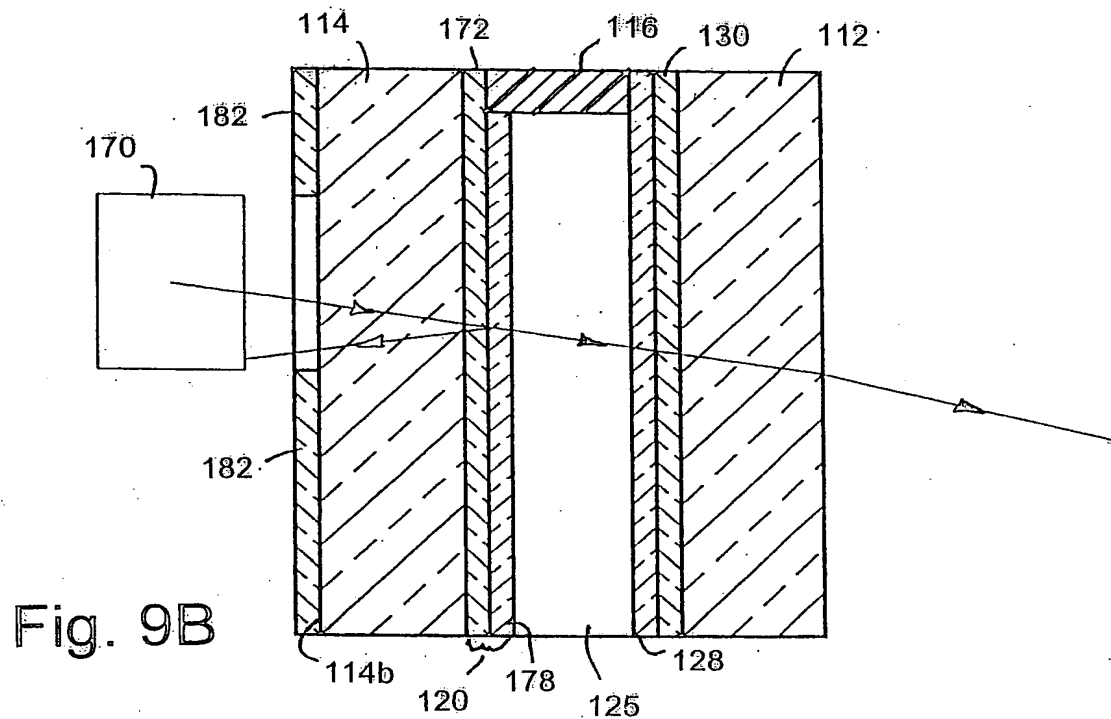


FIG. 7H





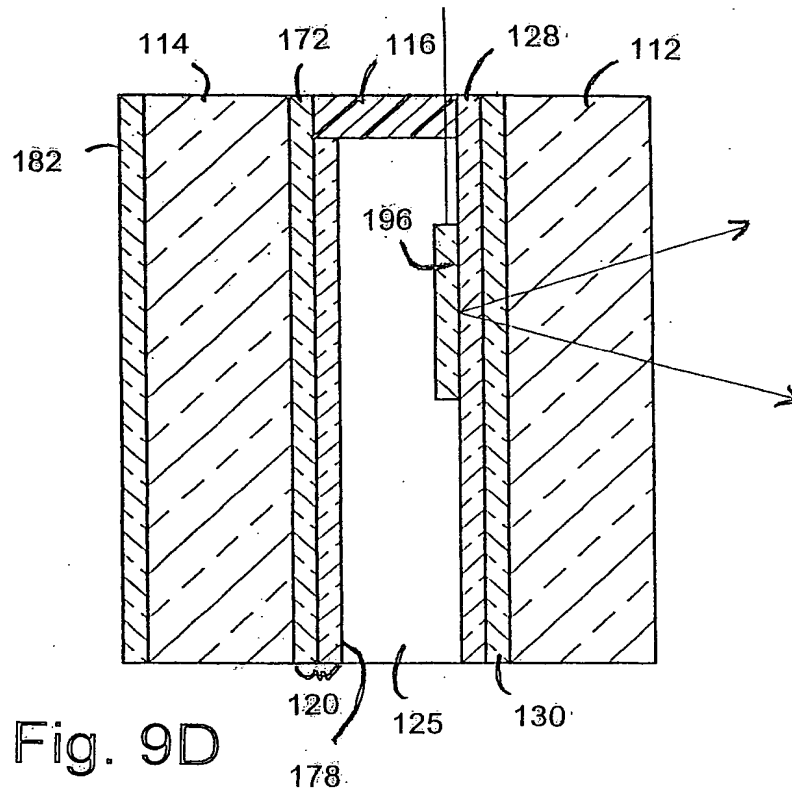


Fig. 9D

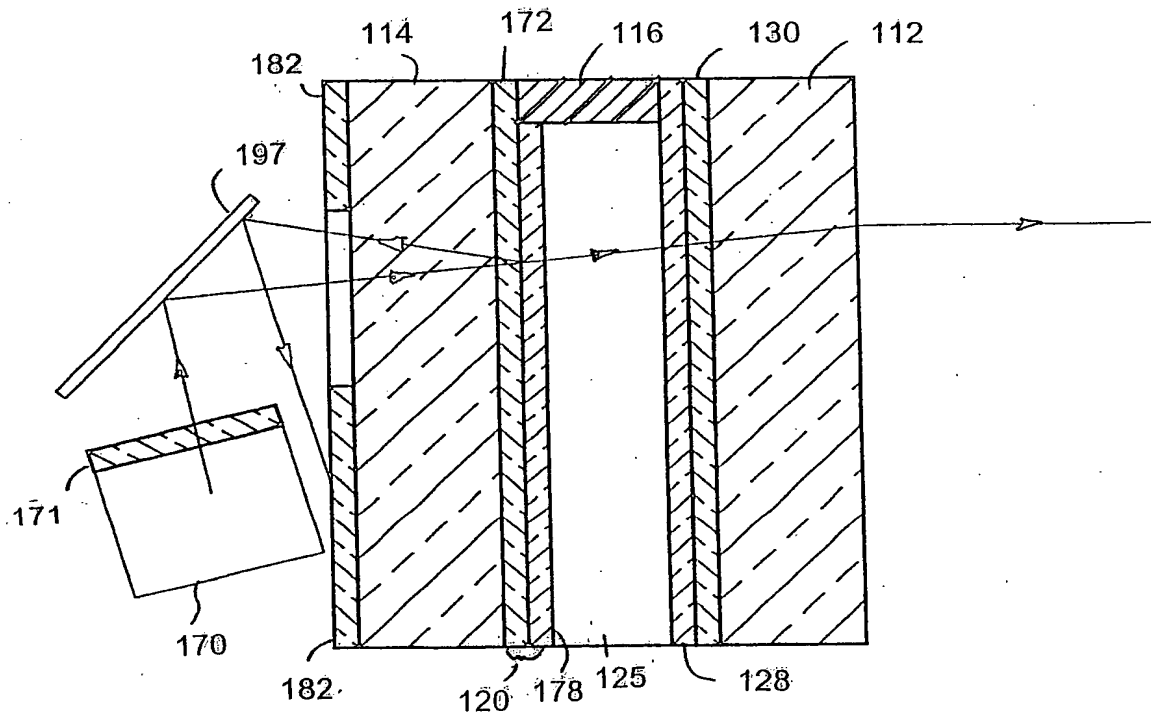


Fig. 9E

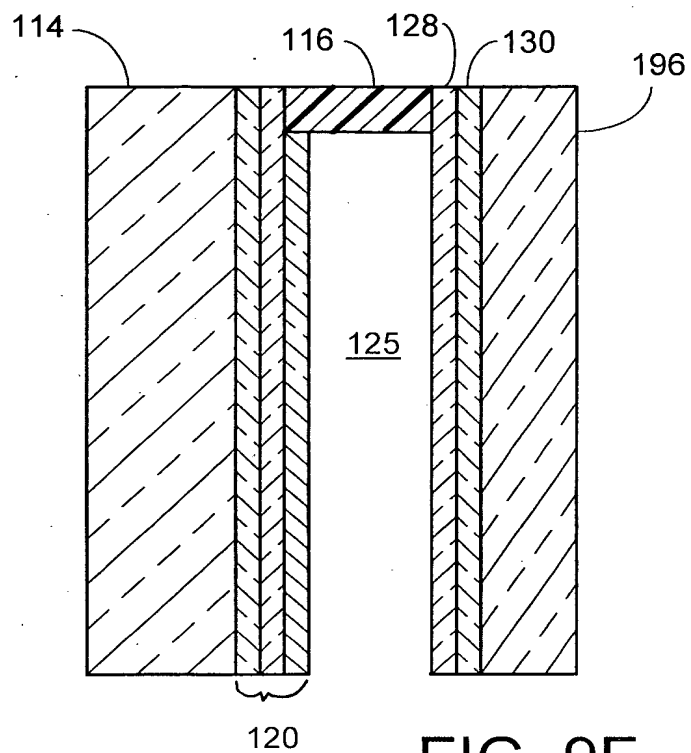


FIG. 9F

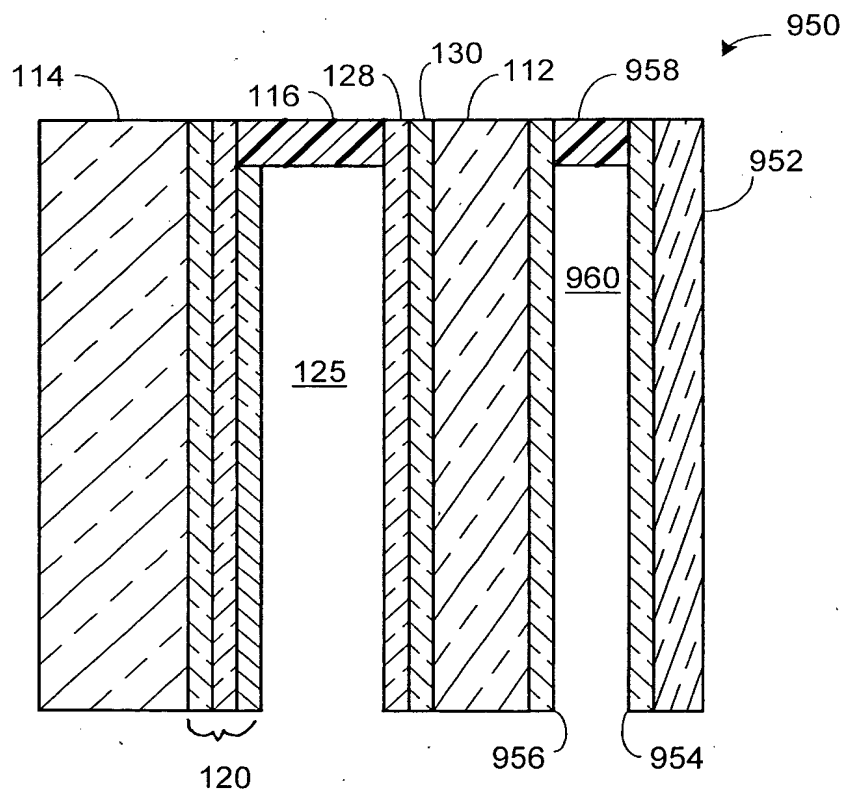


FIG. 9G

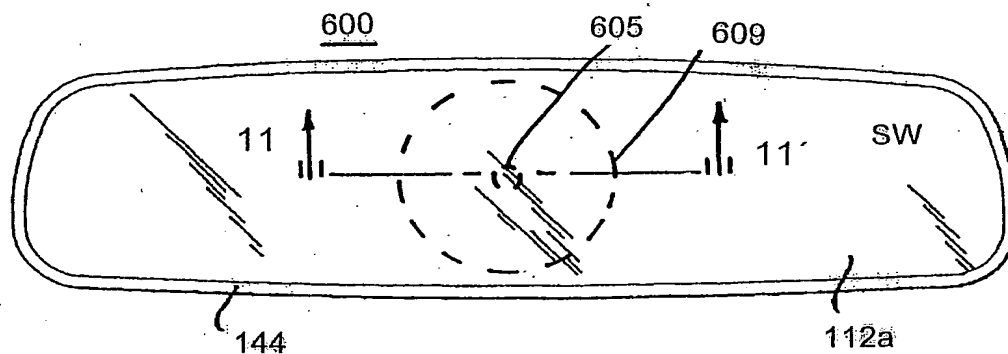


Fig. 10

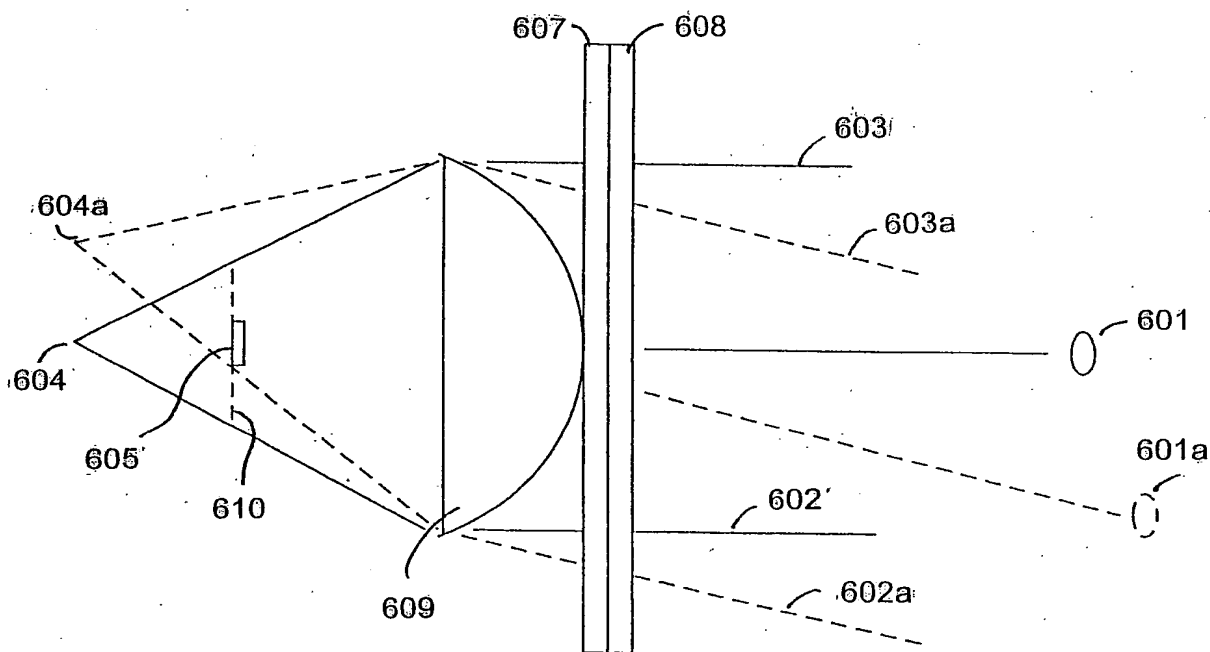


Fig. 11

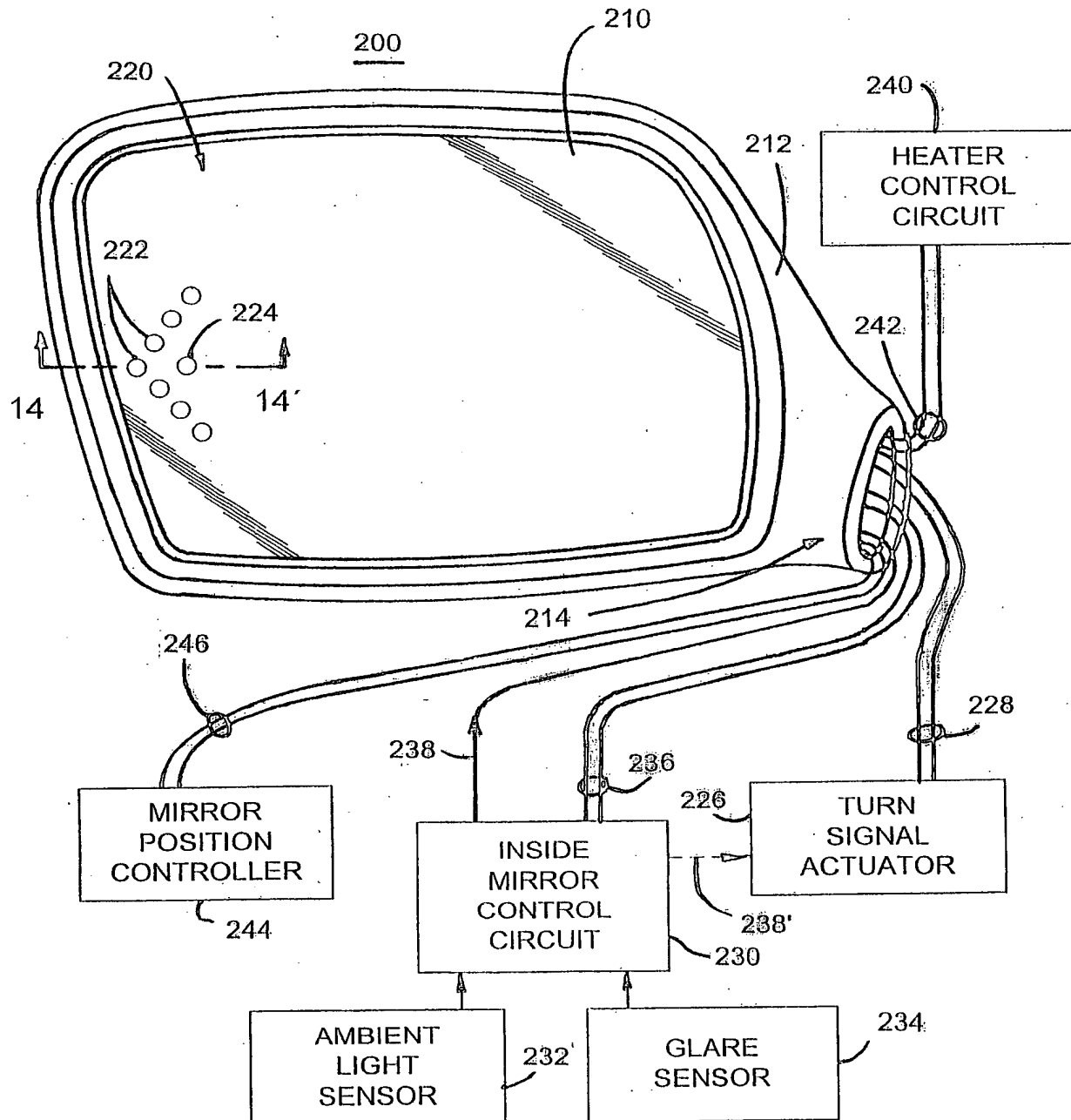
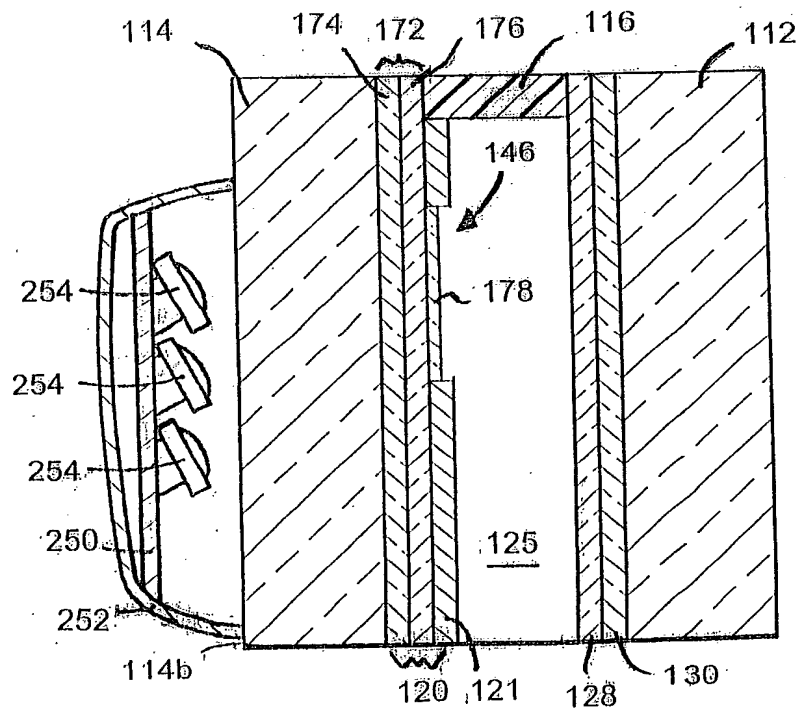
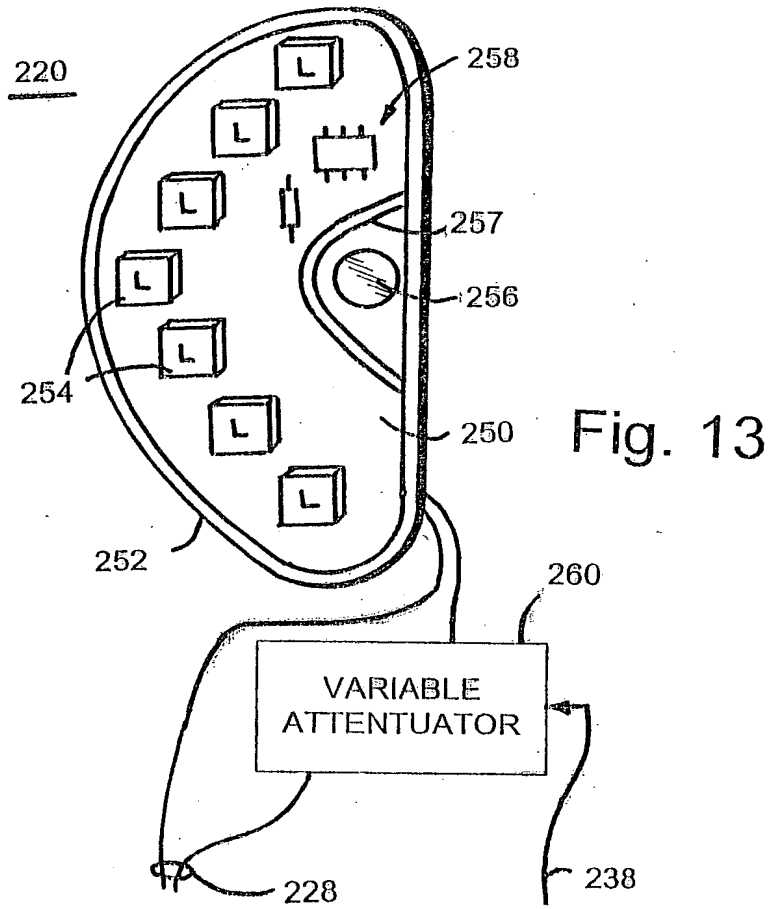


Fig. 12





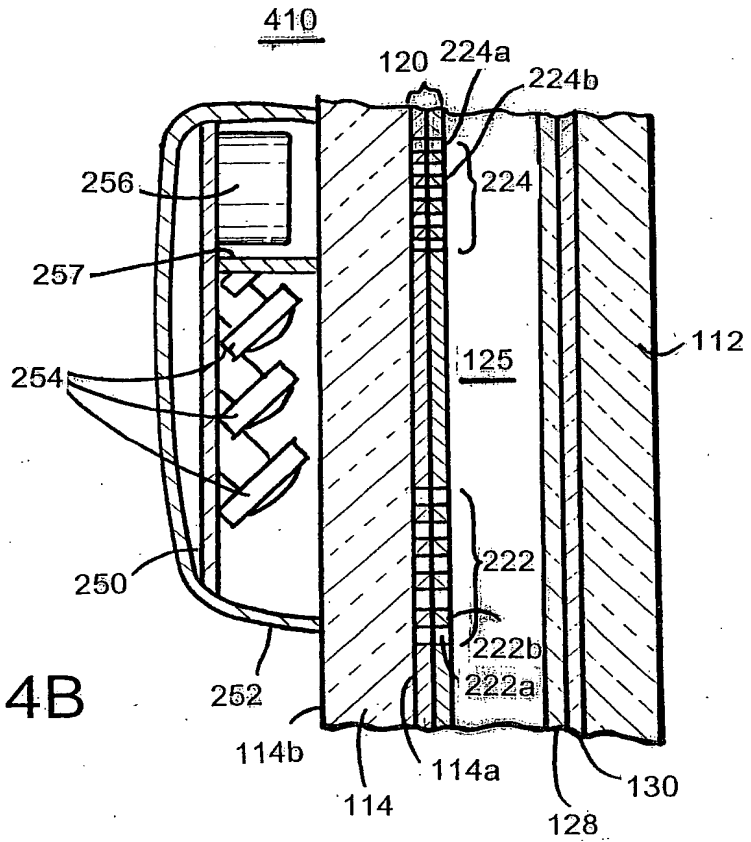


Fig. 14B

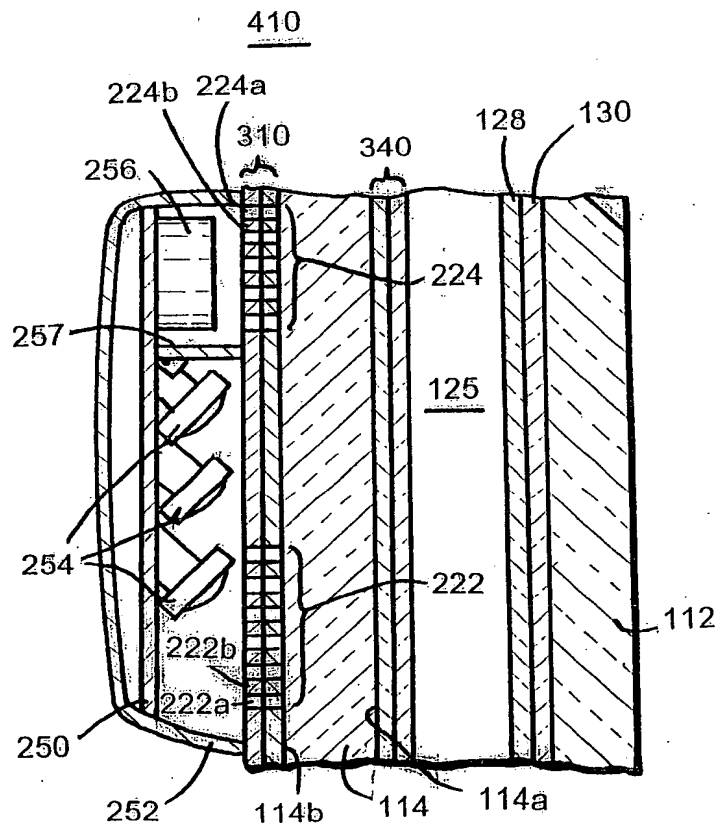


Fig. 14C

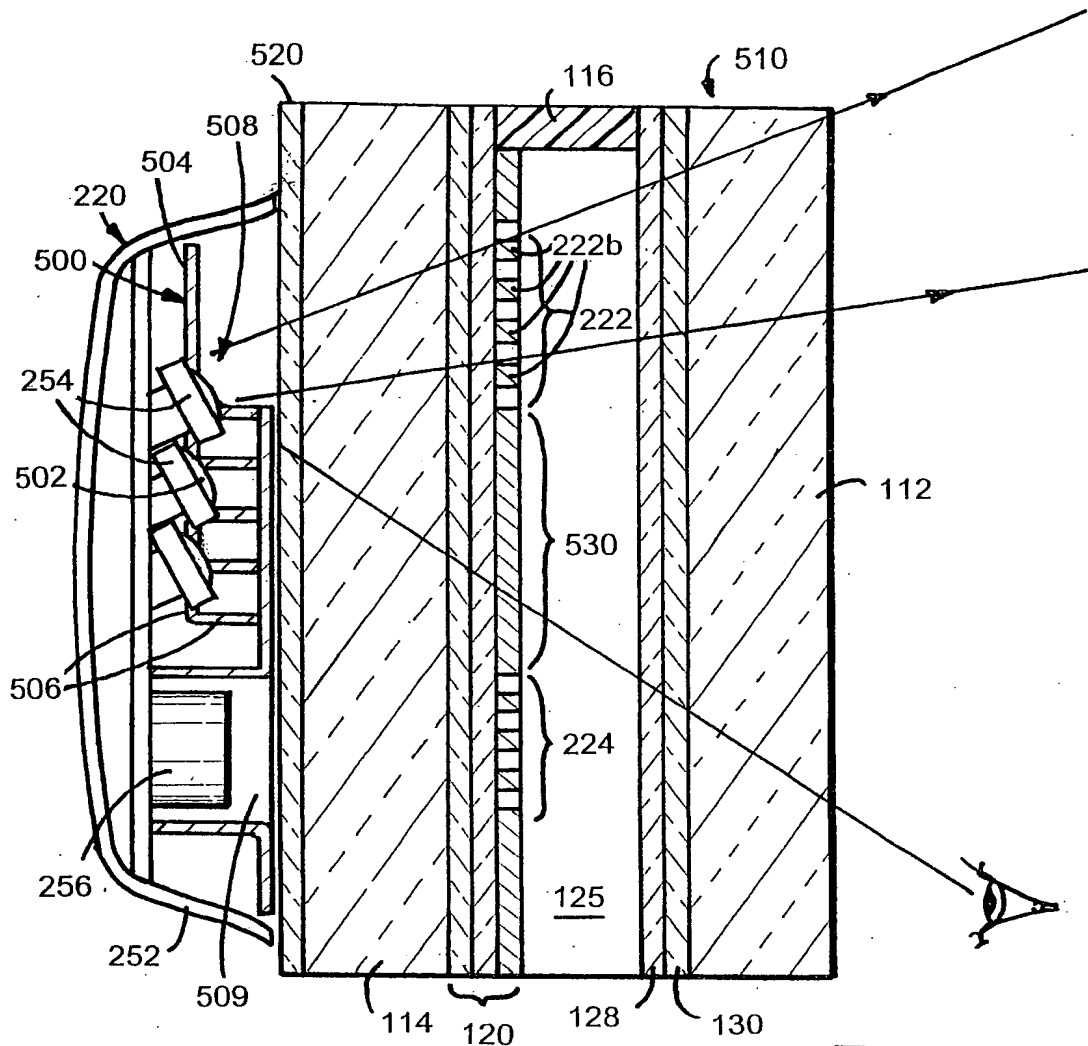


Fig. 14D

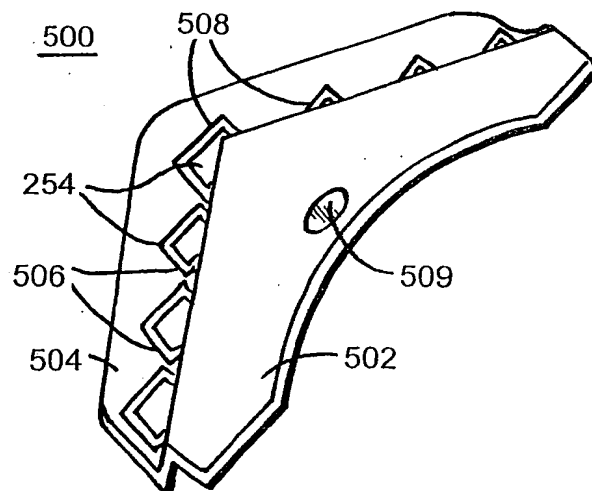


Fig. 19

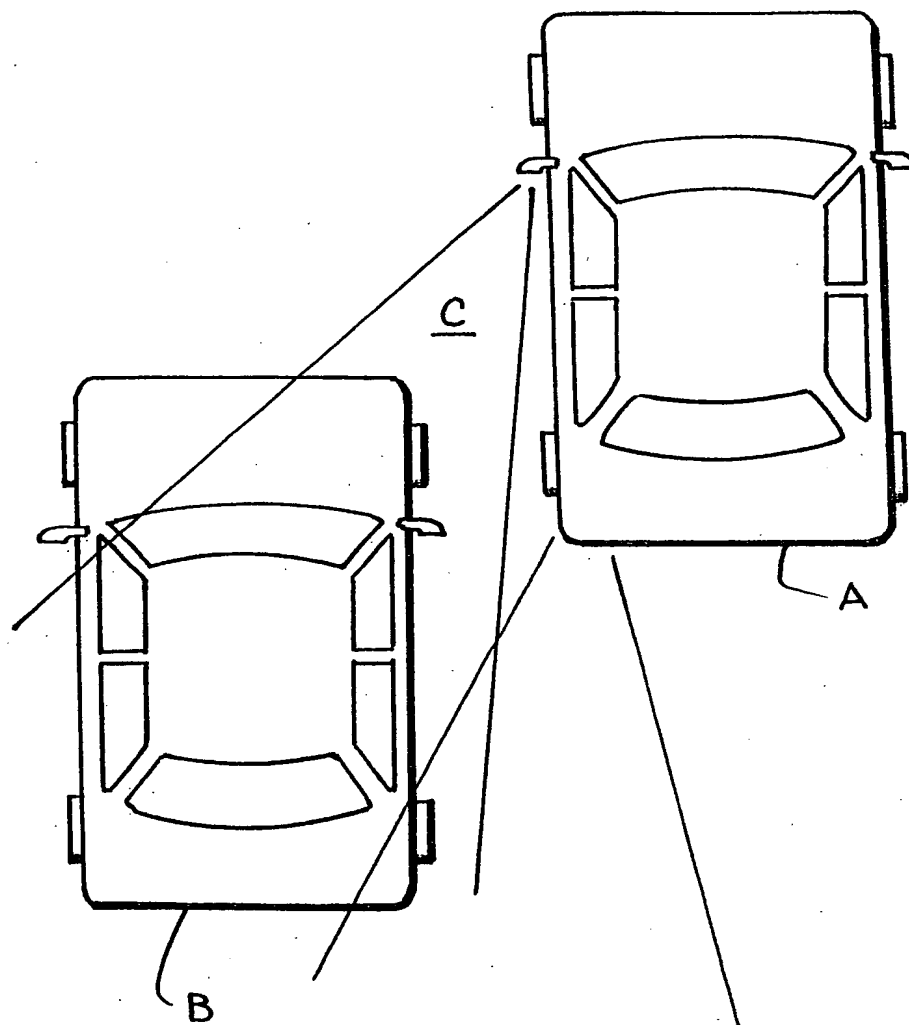


Fig. 15

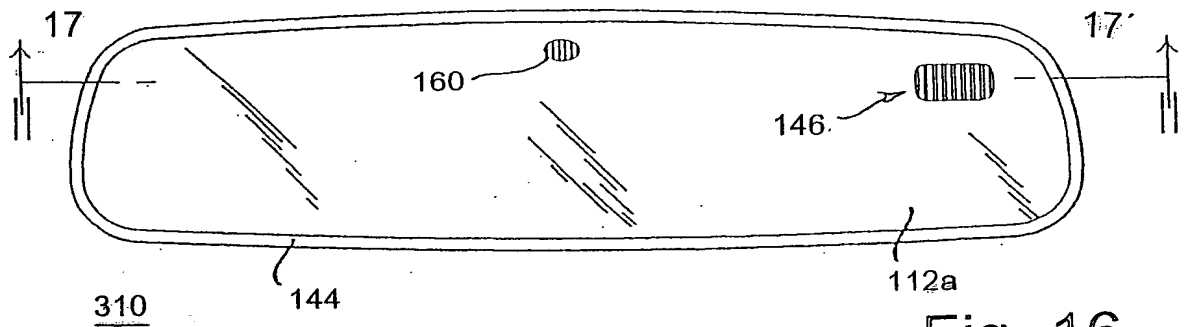


Fig. 16

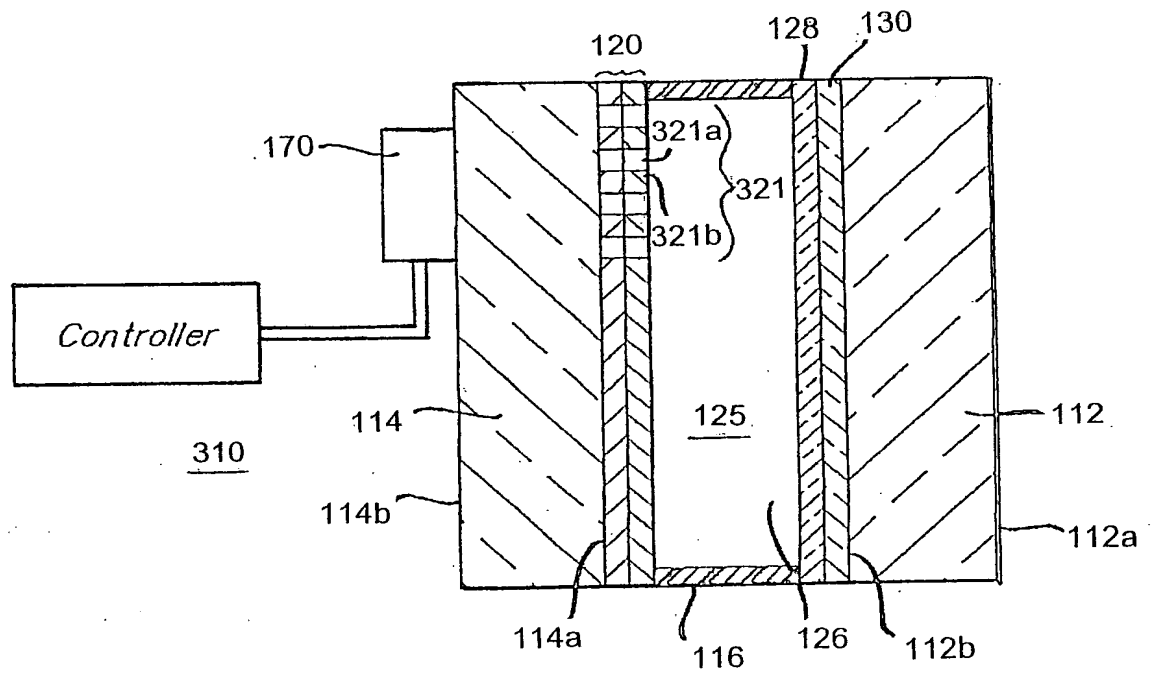


Fig. 17

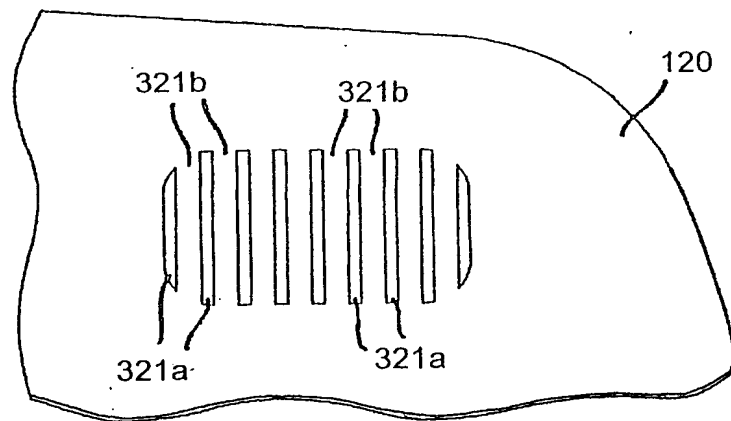


Fig. 18

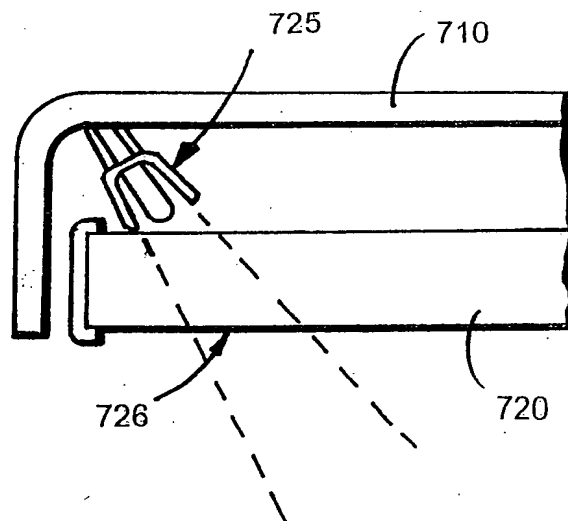
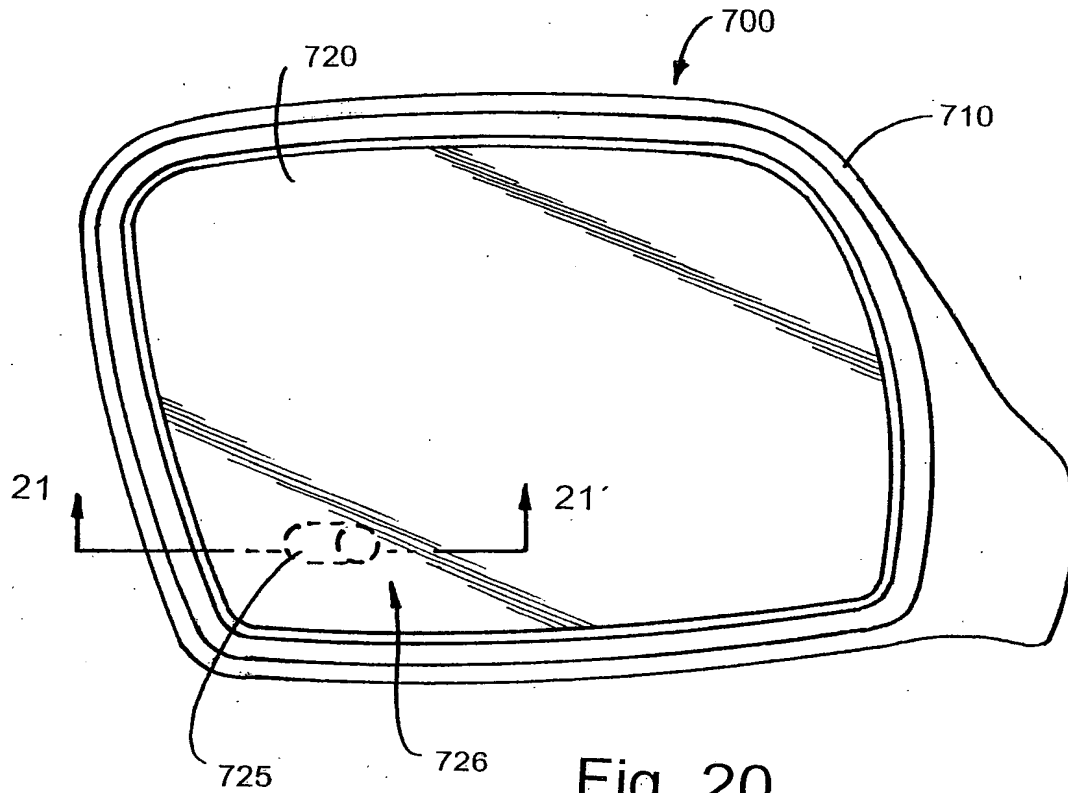
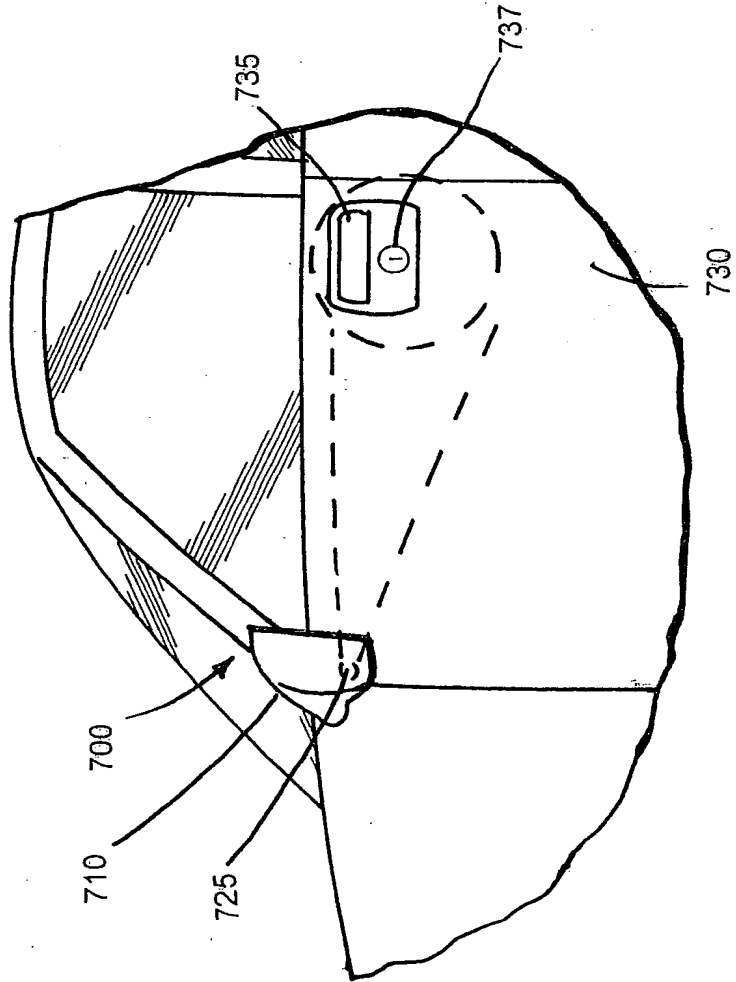


Fig. 22



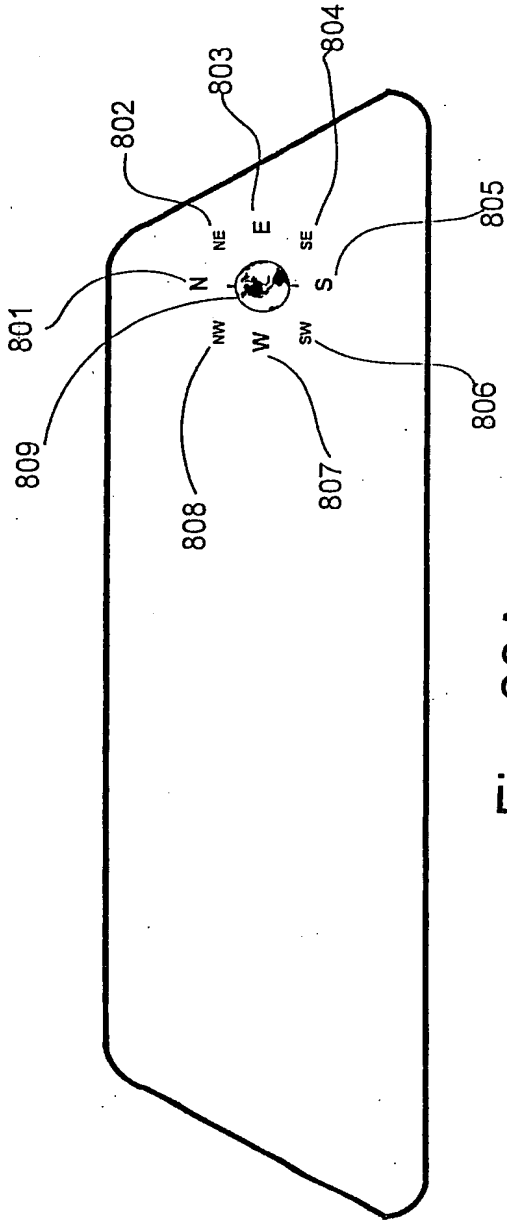


Fig. 23A

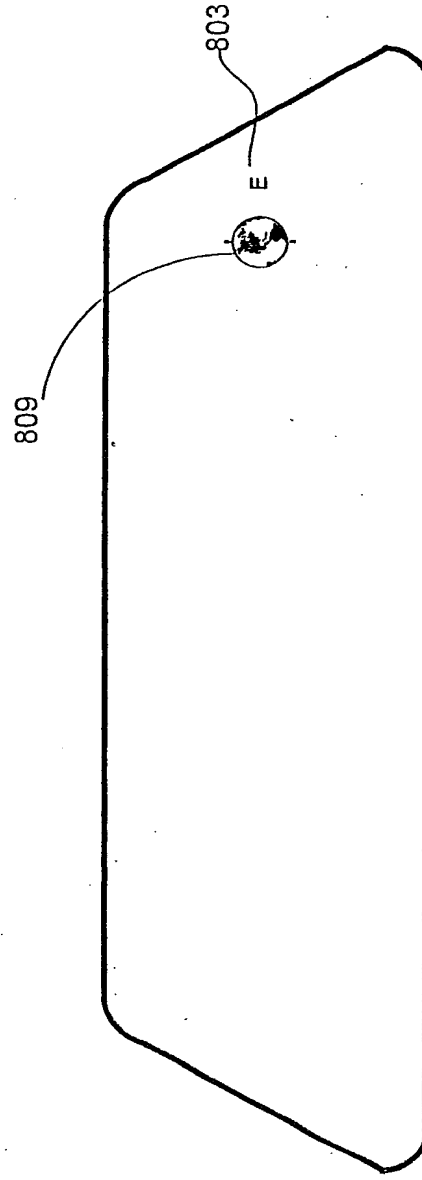


Fig. 23B

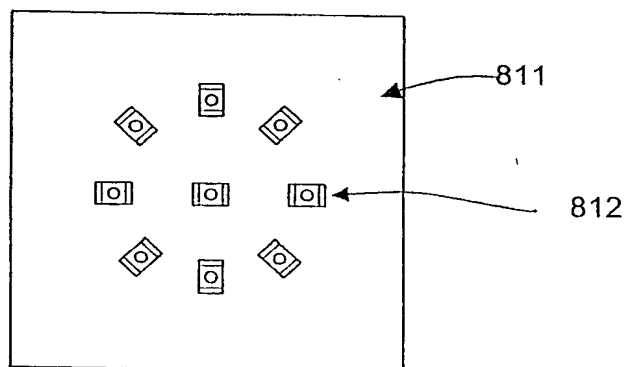


Fig. 24

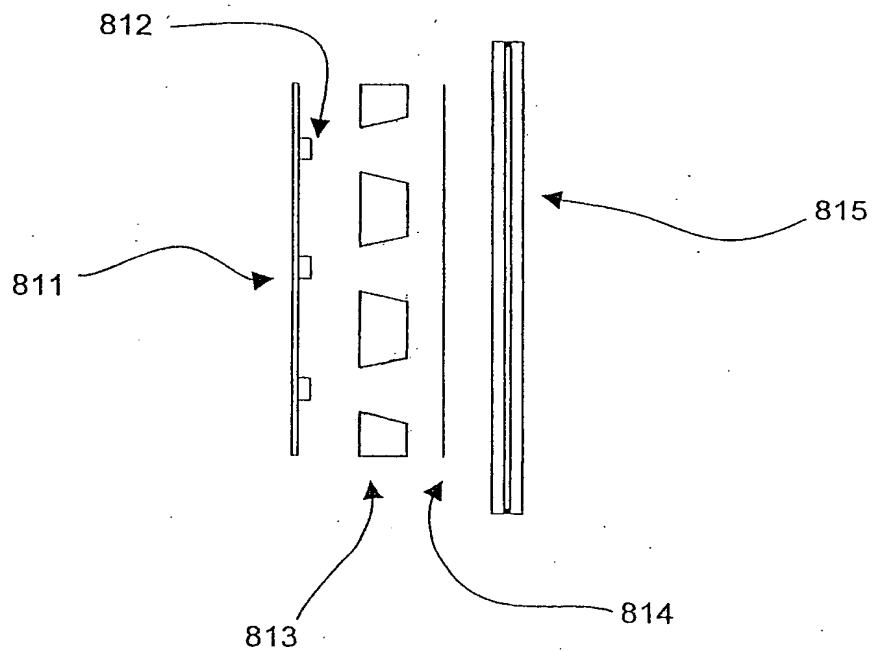


Fig. 25



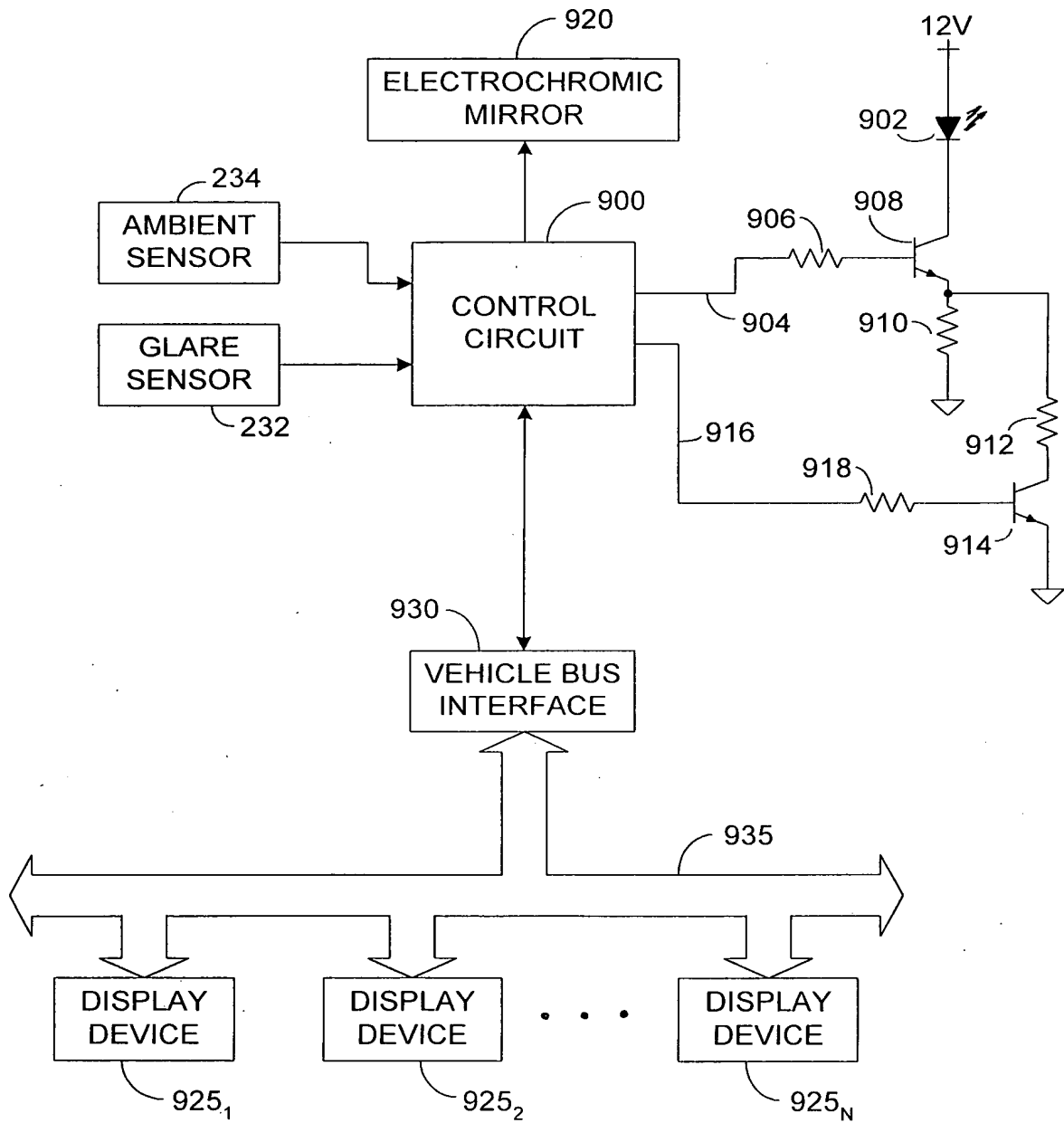


FIG. 26

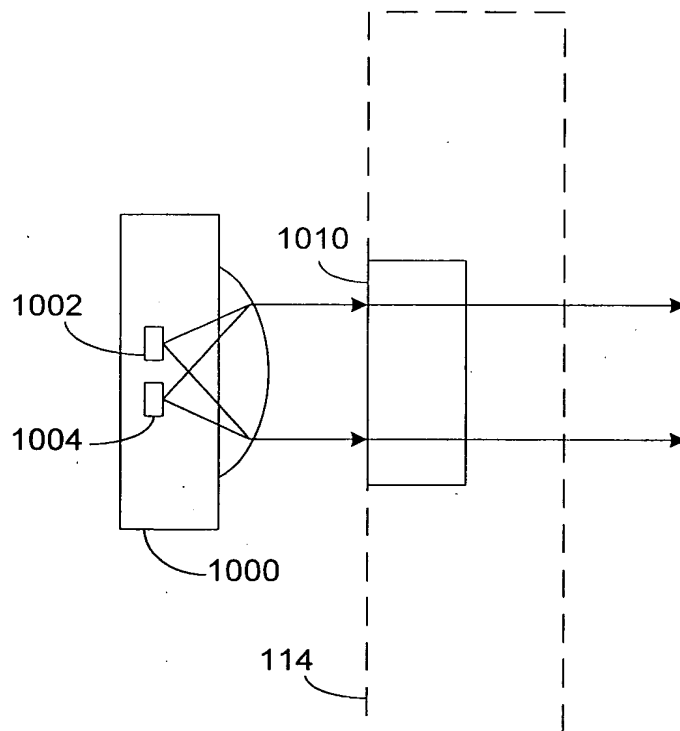


FIG. 27

FIG. 28

